

Важной характеристикой фотонного пучка является величина яркости излучения  $\Delta E/\Delta\Omega$  - полная излученная энергия в единичный телесный угол, которая достигает своего максимального значения на длине  $\lambda_0$  [5]. В осевом случае измеренная яркость излучения  $\Delta E/\Delta\Omega = (0.53 \pm 0.04) \cdot 10^9$  МэВ/ср, что примерно вдвое меньше, чем в работе [5]. Возможно, это несогласие связано со специфическими особенностями характера многократного рассеяния электронов, пролетающих вблизи кристаллографических осей, которые не учтены в теоретической работе.

Из наших данных следует, что вопрос определения оптимальной толщины  $\lambda_0$  как при плоскостном, так и при осевом канализировании электронов для энергии 4.5 ГэВ остается открытым. Необходимы дальнейшие исследования зависимости излучения от толщины в условиях канализирования частиц в различных монокристаллах.

### Л и т е р а т у р а

- [1] Кимакин М.А. - Phys. Lett., 1976, 59A, р. 17.
- [2] Булгаков Н.К., Водопьянов А.С., Головатюк В.Н. и др. - Препринт ОИЯИ-1-83-640, Дубна, 1983 г.
- [3] Авакян Р.О., Авакян Э.О., Аветисян А.Э. и др. - Препринт ЕФИ 704(19)-84, Ереван, 1984.
- [4] Авакян Р.О., Аветисян А.Э., Армаганиан А.А. и др. - Письма в ЖТФ, 1985, т. 11, в. 22, с. 1393.
- [5] Байер В.Н., Катков В.Н., Страховенко В.М. - Препринт ИЯФ 84-11, Новосибирск, 1984.
- [6] Телегин В.И., Хоконов М.Х. - ЖЭТФ, 1982, т. 83, с. 260.
- [7] Авакян Р.О., Аветисян А.Э., Агаронян А.В. и др. - Препринт ЕФИ-776(3)-85, Ереван, 1985.

Ереванский физический  
институт

Поступило в Редакцию  
5 января 1988 г.

Письма в ЖТФ, том 14, вып. 10

26 мая 1988 г.

### ВКЛАД АТОМНОГО ФАКТОРА В АНИЗОТРОПИЮ ВЫХОДА УПРУГО ОТРАЖЕННЫХ ЭЛЕКТРОНОВ ИЗ МОНОКРИСТАЛЛИЧЕСКОГО ВОЛЬФРАМА

М.В. Гомоюнова, И.И. Пронин

В последние годы в связи с продолжжающимся интенсивным развитием методов электронной спектроскопии поверхности твердого тела большое внимание уделяется изучению механизма упругого отражения электронов средней энергии от твердого тела. Было обнаружено, что в угловых распределениях электронов, упруго отраженных от поликристаллов, проявляются „аномалии”, связанные с дифференциаль-

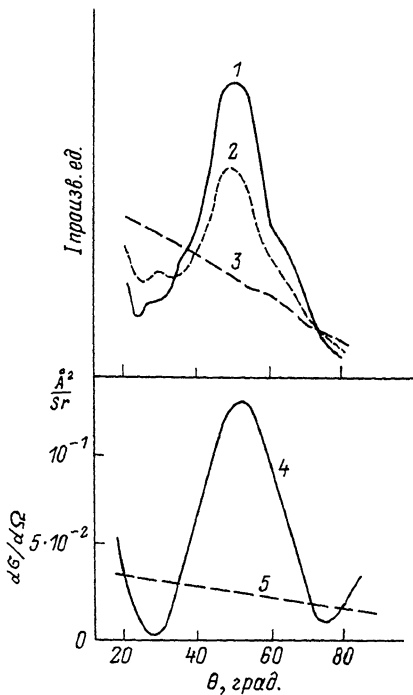
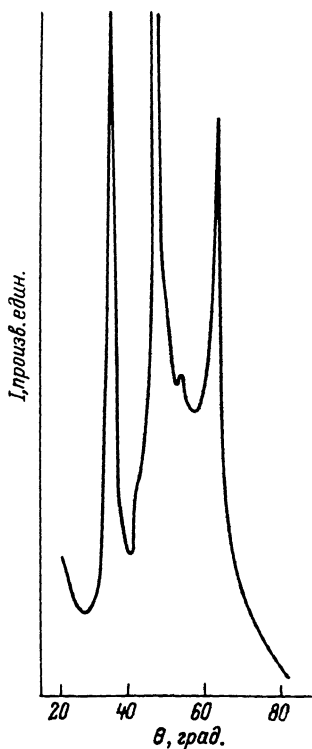


Рис. 1. Распределение  $I(\theta)$  электронов, упруго отраженных от монокристаллического вольфрама, по полярному углу вылета при  $E_p = 0.5$  кэВ и  $\varphi = 0^\circ$  (азимутальная плоскость (100)).

Рис. 2. Распределения  $I(\theta)$  упруго отраженных электронов по полярному углу вылета при  $E_p = 0.5$  кэВ и азимуте  $\varphi = 34^\circ$ ; 1 -  $W\{100\}$ ; 2 -  $W\{100\}-Si$ ,  $d = 4 \text{ \AA}$ ; 3 -  $W\{100\}-Si$ ,  $d = 14 \text{ \AA}$ . Зависимости  $\frac{d\sigma(\theta)}{d\Omega}$  дифференциального сечения упругого рассеяния электронов от угла [10] для атомов  $W$  (кривая 4) и  $Si$  (кривая 5) при  $E_p = 0.5$  кэВ.

ным сечением рассеяния электронов на отдельных атомах [1, 2]. Для монокристаллов большую роль в анизотропии выхода упруго отраженных электронов (УОЭ) играет когерентное рассеяние их на периодическом потенциале решетки кристалла, которое и являлось предметом исследования угловых распределений УОЭ от таких объектов [3-5]. Эффекты же, связанные с рассеянием на отдельных атомах, в этих исследованиях не рассматривались. Имеются лишь

указания на проявление атомного фактора рассеяния в энергетической зависимости интегрального коэффициента упругого отражения электронов от монокристаллов [6, 7]. Поэтому представляло интерес обнаружить его влияние на угловые распределения УОЭ от монокристаллов и проанализировать его роль для этих объектов. С этой целью в настоящей работе была изучена система  $W\{100\}-Si$ .

Исследование выполнено на вторично-электронном спектрометре с угловым разрешением, подробно описанном в [8] и позволявшем измерять распределения УОЭ по азимутальному  $\varphi$  и полярному  $\theta$  углам их вылета при нормальном падении первичных электронов на поверхность кристалла. Энергия  $E_p$  электронов менялась в диапазоне 0,5–1 кэВ, характерном для проявления особенностей атомного сечения  $W$ . Для  $Si$  они лежат в области более низких энергий. Результаты получены как для чистой грани  $W\{100\}$ , так и для покрытой неупорядоченными пленками  $Si$  возрастающей толщины, не превышавшей  $\sim 10$  монослоев. Структура поверхности образца контролировалась методом ДМЭ, а его чистота и количество нанесенного кремния – методом ЭОС [9]. Вакуум в рабочей камере прибора при измерениях был не хуже, чем  $5 \cdot 10^{-10}$  Тор.

Полученные результаты иллюстрируют показанные на рис. 1, 2 распределения  $I(\theta)$  для монокристалла с чистой поверхностью, снятые при  $E_p = 0,5$  кэВ для двух азимутов  $\varphi_1$  и  $\varphi_2$ . При азимуте  $\varphi_1$  УОЭ вылетают вдоль атомных плоскостей (100) и в этом случае на распределениях  $I(\varphi)$  наблюдаются максимумы эмиссии. Азимут  $\varphi_2$ , наоборот, соответствует направлениям аномальной проницаемости или близким к ним, так что выход УОЭ минимален, а дифракционные эффекты проявляются слабо. Ход приведенных кривых различен. В первом случае отчетливо наблюдаются брэгговские максимумы отражения. Вносят свой вклад в структуру кривых и кикучи-полосы [10]. Вместе с тем обращает на себя внимание отсутствие роста общего фона распределения с уменьшением  $\theta$ . На кривой  $I(\theta)$ , снятой при  $\varphi_2$ , также имеется сильный эмиссионный контраст, который проявляется в виде широкого максимума при  $\theta \approx 55^\circ$  и глубокого минимума в области небольших углов вылета ( $\sim 25^\circ$ ).

Для того, чтобы определить природу этих особенностей, сравним приведенную кривую  $I(\theta)$  с зависимостью дифференциального сечения упругого рассеяния электронов на атомах  $W$  от угла рассеяния, построенную нами на основе приведенных в [10] теоретических данных и также показанную на рис. 2. Видно хорошее совпадение общего ее хода с нашей экспериментальной кривой. Опираясь на это согласие, а также на соответствующие данные, полученные для поликристаллических твердых тел [1, 2], мы полагаем, что вид зависимости  $I(\theta)$  при  $\varphi_2$  определяется главным образом дифференциальным сечением упругого рассеяния электронов на атомах  $W$ . При этом атомный фактор „включается в игру“ через механизм квазиупругого рассеяния электронов на фононах. Он же объясняет и отмеченные выше особенности фона распределения  $I(\theta)$ , снятого в азимутальной плоскости (100). Сходные эффекты наблюдаются и при других энергиях первичных электронов.

Убедительным подтверждением высказанной точки зрения являются результаты исследования угловых распределений УОЭ от  $W\{100\}$ , покрытого пленками  $Si$  переменной толщины  $d$  (рис. 2, кривые 2 и 3). Для атомов  $Si$  дифференциальное сечение упругого рассеяния монотонно убывает с ростом угла  $\theta$  (см. рис. 2, кривая 5), превышая его значение для  $W$  в окрестностях  $\theta \approx 30^\circ$  и  $75^\circ$ , и существенно ниже его при  $\theta = 45-60^\circ$ . При напылении на  $W$  кремния по мере роста толщины пленки вид распределения  $I(\theta)$  сильно меняется — уменьшается эмиссия УОЭ в области максимума, характерного для  $W$ , и наоборот, возрастает в интервалах углов  $\theta$  вблизи  $30^\circ$  и больших  $75^\circ$ . При толщинах пленки, равных и превышающих глубину выхода УОЭ, кривая  $I(\theta)$  приобретает такой же монотонно спадающий характер, как и зависимость атомного сечения для  $Si$ . Заметим, что для  $Mo\{100\}$ [5], у которого особенности атомного фактора рассеяния, подобно  $Si$ , находятся в области более низкой энергии, чем у  $W$ , максимумы УОЭ, обусловленные рассматриваемым механизмом, не наблюдались.

Отчетливое проявление атомного сечения рассеяния электронов в угловых распределениях УОЭ от монокристаллов свидетельствует об определяющей роли в упругом отражении электронов средней энергии однократных рассеяний на большие углы.

#### Л и т е р а т у р а

- [1] Канченко В.А., Крынъко Ю.Н., Мельник П.В., Находкин Н.Г. — ФТТ, 1983, т. 25, с. 1448.
- [2] Бронштейн И.М., Васильев А.А., Пронин В.П., Хинич И.И. — Изв. АН СССР, сер. физ., 1985, т. 49, с. 1755.
- [3] Mossner A., Burggraff Ch., Goldsztaub S., Ohtuski Y.H. — Surf. Sci., 1976, v. 54, p. 195.
- [4] Allie G., Blance E., Dufayard D. — Surf. Sci., 1977, v. 62, p. 215.
- [5] Гомоюнова М.В., Пронин И.И., Шмурлевич Л.А. — Surf. Sci., 1984, v. 139, p. 443.
- [6] Шульман А.Р., Кораблев В.В., Морозов Ю.А. — Изв. АН СССР, сер. физ., 1971, т. 36, с. 1060.
- [7] Шульман А.Р., Кораблев В.В., Морозов Ю.А. — ФТТ, 1970, т. 12, с. 758.
- [8] Пронин И.И., Гомоюнова М.В., Бернацкий Д.П., Заславский С.Л. — ПТЭ, 1982, № 1, с. 174.
- [9] Агеев В.Н., Гомоюнова М.В., Пронин И.И., Хоружий С.В. — Поверхность. Физика, химия, механика, 1988, № 4.